

## О МЮОННОМ МЕТОДЕ В НЕЙТРИННОЙ ГЕОФИЗИКЕ

В.А. Салеев, В.А. Царев, В.А. Чечин

УДК 621.384

*Спектральный анализ потока сопровождающих мюонов позволяет повысить чувствительность мюонного метода поиска рудных месторождений и получать информацию о глубине залегания и мощности залежи.*

В работе /1/ было показано, что поток мюонов, возникающих при прохождении нейтринного пучка ускорителя через верхние слои земной коры, может быть использован для поиска рудных месторождений. Полезным сигналом в мюонном методе служит возмущение равновесного потока сопровождающих мюонов, вызванное различием в их рождении и поглощении в веществе рудного тела по сравнению с окружающим грунтом. Подробные вычисления для нейтринных пучков протонных и пионных ускорителей были проведены в /2/.

В настоящей работе показано, что мюонный метод может быть усовершенствован, для чего вместо интегрального потока мюонов следует измерять их спектр. Это позволяет увеличить отношение сигнала к фону, то есть повышает чувствительность метода и дает информацию о глубине залегания  $L$  и толщине рудного слоя  $\Delta L$ .

Рассмотрим вначале случай нейтринного пучка пионного ускорителя. Пусть детектор, расположенный на поверхности, регистрирует мюоны с энергиями от  $E_\mu - \Delta E_\mu/2$  до  $E_\mu + \Delta E_\mu/2$  ( $\Delta E_\mu \ll E_\mu$ ). Тогда плотности потока равновесных мюонов  $(dN_\mu/dS)_1$  и его возмущение  $(dN_\mu/dS)_2$  равны /2/

$$(dN_\mu/dS)_1 = C\Phi_i(E_\mu, E_\nu) \Delta E_\mu,$$

где

$$\Phi_i(E_\mu, E_\nu) = N_A \sigma_\nu^{(0)} \frac{E_\nu - E_\mu}{A_0 (1 + BE_\mu)},$$

$$\Phi_2(E_\mu, E_\nu) = N_A \sigma_\nu^{(0)} \rho \Delta L e(E_\mu^0, E_\nu),$$

$$C = N_\pi w_\pi l E_\pi / \pi L_0^2 m_\pi \tau_\pi, \quad \sigma_\nu^{(0)} = \sigma_\nu / E_\nu$$

и остальные обозначения такие же, как в /2/.

Энергия  $E_\mu^0$ , которую мюон имеет сразу же за залежью, связана с регистрируемой энергией  $E_\mu$  соотношением:

$$E_\mu^0 = [(1 + BE_\mu) \exp(A_0 B\rho L) - 1]/B.$$

Отсюда непосредственно следует, что спектр сигнала обрывается при  $E_\mu = E_\mu^{\max}$ , где

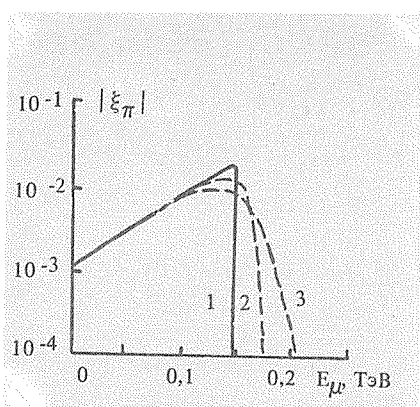
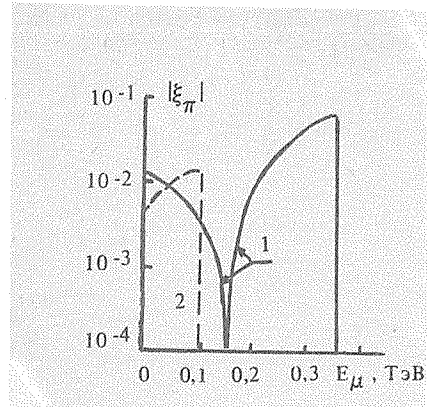
$$E_\mu^{\max} = [(1 + BE_\nu) \exp(-A_0 B\rho L) - 1]/B,$$

и, таким образом, измеряя  $E_\mu^{\max}$ , можно определять глубину залегания залежи. Кроме того, очевидно, что по размытию края спектра можно судить о толщине слоя  $\Delta L$ , притом тем точнее, чем меньше  $\Delta E_\mu$ . Эти свойства видны из рисунков 1 и 2, на которых показана величина  $\xi_\pi$  при различных  $E_\mu$ ,  $L$  и  $\Delta L$ , вычисленная по формуле\*:

$$\begin{aligned} \xi_\pi(E_\mu, L, \Delta L) \equiv & \frac{(dN_\mu/dS)_2}{(dN_\mu/dS)_1} = A_0 \rho' \Delta L \frac{1 + BE_\mu}{E_\nu - E_\mu} \times \\ & \times \left\{ \frac{\sigma'_\nu}{\sigma_\nu} - \frac{A'_0}{A_0} \left[ \frac{1 + B'E_\mu^0}{1 + BE_\mu^0} - \frac{(B' - B)(E_\nu - E_\mu^0)}{(1 + BE_\mu^0)^2} \right] \right\}. \end{aligned}$$

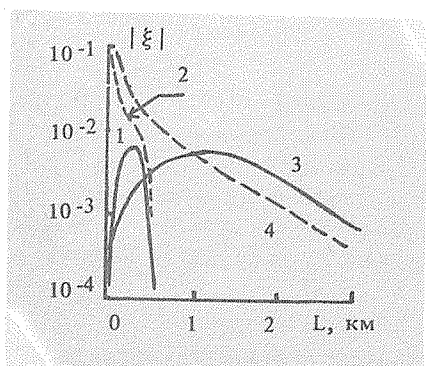
Энергии  $E_\mu^0$  и  $E_\mu$  меняются в пределах  $E_\mu^{\min} < E_\mu^0 < E_\nu$ ;  $0 < E_\mu < E_\mu^{\max}$ ;  
 $E_\mu^{\min} = [\exp(A_0 B\rho L) - 1]/B$ .

\* Все численные расчеты сделаны для урановой залежи мощностью  $\rho' \Delta L = 1 \text{ кг}/\text{см}^2$ .



Р и с. 1. Зависимость  $\xi_{\pi}$  от энергии мюонов  $E_{\mu}$  при  $L = 0,1$  км (1) и  $L = 0,5$  км (2);  $\Delta L = 0$ .

Р и с. 2. Зависимость  $\xi_{\pi}$  от энергии мюонов  $E_{\mu}$  при  $L = 0,4$  км и  $\Delta L = 0$  (1); 0,1 км (2); 0,2 км (3).



Р и с. 3. Зависимость от  $L$  величин  $\xi_{\pi}(L)$  (1),  $\xi_{\pi}^{\max}(E_{\mu}, L)$  (2),  $\xi_p(L)$  (3),  $\xi_p^{\max}(E_{\mu} L)$  (4);  $\Delta L = 0$ .

Выигрыши в чувствительности по сравнению с интегральными измерениями виден из рис. 3, на котором показаны величины  $\xi_{\pi}(L)$  для полного потока и  $\xi_{\pi}^{\max}(E_{\mu} L)$  для дифференциального.

Аналогичные расчеты можно провести и для случая протонного ускорителя. Предполагая идеальную фокусировку  $\pi^+$ - и  $K^+$ -мезонов и спектр вида  $dN_{\pi, k}/dx = c_{\pi, k}(1 - x)^3/x$ , найдем равновесный поток, возмущение и их отношение  $\xi_p$ :

$$\left( \frac{dN_{\mu}}{dS} \right)_1 = \frac{c' \Delta E_{\mu}}{A_0 (1 + BE_{\mu})} \left\{ M_{\pi} F_{\pi}(E_{\mu}) \Theta(1 - x_{\pi}) + (\pi \rightarrow K) \right\},$$

$$\left( \frac{dN_\mu}{dS} \right)_2 = C' \Delta E_\mu \rho' \Delta L \left\{ M_\pi S_\pi(E_\mu^0) \Theta(1 - x_\pi^0) + (\pi \rightarrow K) \right\},$$

$$\xi_p(E_\mu L, \Delta L) = A_0 (1 + BE_\mu) \rho' \Delta L \frac{M_\pi S_\pi(E_\mu^0) \Theta(1 - x_\pi^0) + (\pi \rightarrow K)}{M_\pi F_\pi(E_\mu) \Theta(1 - x_\pi) + (\pi \rightarrow K)},$$

где  $(\pi \rightarrow K)$  обозначает вклад К-мезонов, совершенно аналогичный вкладу  $\pi$ -мезонов.

Здесь  $C' = N_p^{KIE_p} N_A \sigma_\nu^{(0)} / \pi L_0^2$ ;  $M_\pi = w_\pi c_\pi / m_\pi \tau_\pi$ ;  $x_\pi = E_\mu / \eta_\pi E_p$ ;  $x_\pi^0 = E_\mu^0 / \eta_\pi E_p$ ;  $F_\pi(E_\mu) = \eta_\pi E_p (1 - x_\pi)^5 / 20$ ;

$$S_\pi(E_\mu^0) = \frac{(1 - x_\pi^0)^4}{4} \left\{ \frac{\sigma'_\nu}{\sigma_\nu} - \frac{A'_0 (1 + B'E_\mu^0)}{A_0 (1 + BE_\mu^0)} + \frac{(1 - x_\pi^0) A'_0 (B' - B) \eta_\pi E_p}{5 A_0 (1 + BE_\mu^0)^2} \right\},$$

и аналогично для К-мезонов. Результаты вычислений  $\xi_p^{\max}(E_\mu L)$  для энергии протонного ускорителя  $E_p = 20$  ТэВ показаны на рис. 3. Видно, что в этом случае измерение  $E_\mu$  позволяет увеличить  $\xi_p$  лишь для  $L \lesssim 1$  км. В то же время край спектра оказывается значительно более размытым, чем в случае пионного ускорителя, что усложняет нахождение  $L$  и  $\Delta L$ .

Поступила в редакцию 16 мая 1985 г.

## ЛИТЕРАТУРА

1. De Rujula A. et al. Phys. Reports, 99, 341 (1983).
2. Салеев В. А., Царев В. А., Чечин В. А. Препринт ФИАН № 88, 1985.